

1. まえがき

コンクリートの補強材として一般に使われている鉄筋は、磁石に強く吸引される強磁性を示すため、磁気浮上式鉄道用カイドウェイなど磁界の影響を考慮すべき場合には、この鉄筋にかかる補強材が必要である。鉄筋にかかる非磁性鋼として、ステンレス鋼、高マンガン鋼を考えられる。ここではステンレス鋼に比べてコンクリート補強材としての資料が乏しく、またその含有成分からみて安価であろう高マンガン鋼鉄筋のコンクリート補強材としての可能性について実験的検討を試みた。

2. 高マンガン鋼の諸性質

高マンガン鋼はその発明者の名に因み

ハッドフィールド鋼ともよばれ、主成分は C が 0.3 ~ 1.3 %, Mn が 11 ~ 14 % 含むオーステナイト組織で強じん性に富む非磁性鋼である。

コンクリート補強材として代表的な P C 鋼棒、鉄筋ヒメー力提供の高マンガン鋼棒の諸性質を表 1 に示す。

2.1 機械的性質

表 1 より高マンガン鋼棒の降伏点は P C 鋼棒の半分以下であるが、SD35 鉄筋

の耐力のみである。また、高マンガン鋼棒の引張強度は SD35 鉄筋以上で P C 鋼棒に近い値である。さらに伸びにつけても SD35 鉄筋の値と上まわっている。

2.2 物理的性質

高マンガン鋼棒の弾性係数は鉄筋と同程度であるが、熱膨脹係数はコンクリートの 2 倍程度大きく、温度変化に伴う熱応力によるコンクリートのひびわれなどの検討が必要であろう。透磁率は土木構造物に用いる非磁性鋼としては妥当な値であろう。また電気抵抗は鉄筋の 3 ~ 6 倍大きく誘導磁化に対する鉄筋より有利である。

以上、鉄筋の具備すべき機械的性質では高マンガン鋼棒は SD35 鉄筋の規格を満すが、物理的性質には検討すべき点がある。

3. 高マンガン鋼鉄筋の検討

前述のよう P C 鋼棒の諸性質を調べた結果、コンクリートとの付着、コンクリートと高マンガン鋼の熱膨脹係数の差によるコンクリートのひびわれ、および疲労強度などについて実験的検討を加える。

3.1 コンクリートとの付着

SD35 鉄筋、およびそれと同様波形(波形アシ)の高マンガン鋼異形鉄筋について、コンクリートとの付着強度の差異を調べるために、鉄筋の引抜き試験を行なった。試験方法は日本材料学会で定める方法に準じ、鉄筋の公称直徑は両者とも 10mm、コンクリートの 28 日強度は 400kg/cm² である。また温度変化に伴う熱応力による付着強度の低下も想定されるため、一部

表 1 P C 鋼棒、鉄筋と高マンガン鋼棒の諸性質

| 種類 | 規格 | 機械的性質 | | | 物理的性質 | | | 比電気抵抗 μΩ·cm |
|--|-------------|-------------------------------|----------------------------|----------|----------------------------|-----------------------|----------------------|--------------------|
| | | 降伏点, 耐力 kg/mm ² | 引張強度 kg/mm ² | 伸び % | 弾性係数 kg/mm ² | 熱膨脹係数 1/°C | 透磁率 | |
| P C 鋼棒 | SBPR40/16 | 80 以上 | 95 以上 | 5 以上 | | 10.0×10^5 | 6500 | 12.9 ^{a)} |
| | SD30 | 30 以上 | 49~63 | 14~18 以上 | | | 1 | |
| | SD35 | 35 以上 | 50 以上 | 18~20 以上 | 21000 | 10.0×10^{-6} | 4000 (最大透磁率) | 22.2 |
| 高 マ ン ガ ン 鋼 棒 (マーク) | SD40 | 40 以上 | 57 以上 | 16~18 以上 | | | | |
| | Mn12 (I) | 35 以上 | 91 | 33 | 19700 | 20.0×10^4 | 1.02~1.03 (2000ε) | 71 |
| | IRS-2 20 | 35 以上 | 70 以上 | 30 | 18000 | | 1.005 (2000ε) | |
| | MS-04 | 35 以上 | 80 以上 | 40 以上 | 17700 22200 | 18.4×10^4 | 1.004 | 66.5 |
| | 14Mn 60 | 35 以上 | 90 以上 | 40 以上 | | 16.4×10^4 | 1.02~1.03 | |
| | 13Mn 60 | 35 以上 | 50 以上 | 18 以上 | | 14.2×10^4 | 1.10 以下 | 70.6 |
| | 18Mn 4Cr 90 | 35 以上 | 80 以上 | 30 以上 | 19000 | 16.0×10^4 | 1.032 (3000ε) | 76.8 |
| | | | | | | | | |

1) 設計示方書による値

2) 日本金属学会編: 鉄鋼材料叢書, 八卷, 第四回, P535

表 2 鉄筋の引抜き試験結果

| 調査 地 | 試験条件 | 各付着力のすべり量 ($\times 10^3$ mm) | 最大引抜き力 | | | | | |
|---------------------------------|-----------|-------------------------------|------------------------|------------------------|------------------------|------------------------|----------------------|-------------|
| | | | 21.2kg/cm ² | 42.5kg/cm ² | 63.7kg/cm ² | 84.9kg/cm ² | 最終状態 | |
| 高 マ ン ガ ン 鋼 筋 | 未温時 | 1 2 3 | 2 3 3 | 10 11 11 | 24 21 23 | 67 53 40 | 89.2 84.9 93.4 | × × △ |
| | 20~70 °C | 2 3 | 2 3 | — | — | — | — | △ |
| | 3 温期 | 3 | 2 | — | — | — | — | △ |
| S D 3 5 | 温期 3.5 時間 | 1 2 3 | 2 2 2 | 10 15 7 | 29 34 18 | 61 63 37 | 90.2 89.2 89.7 | △ △ △ |
| | 未温時 | — | — | — | — | — | — | — |
| | 温期 3.5 時間 | — | — | — | — | — | — | 89.5 |

注) 引力は全断面有效(有効長 15 cm)で計算 $\phi/10\pi$

の鉄筋供試体に数回の熱サイクルを与えた後引抜き試験を行ない、SD35鉄筋との差異を検討した。

表2にそれら鉄筋の引抜き試験結果を示すようく、高マンガン鋼異形鉄筋の付着応力は 90kg/cm^2 程度で、SD35鉄筋との差異はみられなかつた。それ故、この実験の限り熱膨張係数の差異が付着強度におよぼす影響は小さなものと考えられる。

3.2 热膨張係数差の影響

高マンガン鋼の热膨張係数はコンクリートの2倍程度大きいため、使用中の温度変化に伴う熱応力によるコンクリートのひびわれの発生が想定される。

いま、ある均衡状態から鉄筋が θ_s 、コンクリート表面が θ_c なる温度変動をした場合、コンクリート表面から鉄筋まで温度分布が直線的に変化し、かつひずみ分布が全断面一様であると仮定すれば、図1に示すようなモデルの鉄筋長手方向のコンクリート応力を σ_c は、

$$\sigma_c = \frac{nPE_c}{1+nP} \left\{ d_s \theta_s - \frac{1}{2} d_c (\theta_s + \theta_c) \right\}$$

で表わされる。ここで、 n : 鉄筋とコンクリートの弾性係数比、 P : 鉄筋とコンクリートの断面積比、 E_c : コンクリートの弾性係数、 d_s 、 d_c : 鉄筋、コンクリートの熱膨張係数である。 $d_s = d_c$ 、 $1.5d_c$ 、 $2d_c$ で鉄筋とコンクリートの温度差 5°C の場合、コンクリート表面温度 θ_c からある均衡状態から変動した時のコンクリート応力 σ_c の変化計算結果を図1に示す。同図より $d_s = 1.5 \sim 2d_c$ 、すなわち高マンガン鋼鉄筋の場合、コンクリート表面に 50°C の温度変動がある時コンクリート応力は普通鉄筋より $10 \sim 20$ 倍大きい値で、 $nP = 0.02 \sim 0.07$ に対してコンクリート応力は $\Delta \sim 15 \text{kg/cm}^2$ に達する。この値はコンクリートのひびわれに対する余裕があるが、付着応力に対するは異形鉄筋として用いる方が望ましい。なお、前節と同じコンクリートでガイドウェイの実物大突起供試体($\phi 40\text{cm}$ 、高さ 40cm の内三角形で軌道中心の段目)に $20 \sim 70^\circ\text{C}$ の熱サイクルを数回与えた結果、ひびわれは観測されなかつた。

3.3 鉄筋の接触抵抗

推進移動体の境界で鉄筋をきることによって鉄筋に誘導電流が発生し、この電流が移動体にブレーキ力として作用する。このブレーキ力は鉄筋の電気抵抗が大きい程小さい。鉄筋は一般に棒粗状で使われるるので、鉄筋自体の抵抗値の他に接触抵抗も調べておく必要がある。表3に接触抵抗の測定結果を示すようく、コンクリート打設後3週間目の接触抵抗は高マンガン鋼鉄筋の方がSD35鉄筋よりも2倍大きい値である。

3.4 破壊強度

表1の(W) $\phi 10$ 、 $\phi 13\text{mm}$ 、(S) $\phi 10\text{mm}$ 異形直角フジの高マンガン鋼鉄筋の引張破壊強度を求めた。全数で16本でデータ数は少ないので、200万回疲労強度は5%破壊確率で 23.5kg/mm^2 を示し、引張強度の約25%である。この疲労強度は普通異形鉄筋の場合と同程度である。

4.まとめ

以上の検討結果より高マンガン鋼異形鉄筋は、ガイドウェイによる磁気の影響を考慮すべきコンクリートの鉄筋として、使用温度と誘導磁化の程度に留意すれば、SD35鉄筋のわりとして実用上問題はないであろう。

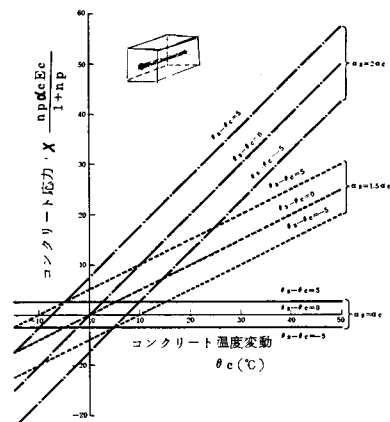


図1 鉄筋コンクリートの熱応力

表3 鉄筋の接触抵抗

| 調査 概要 | 電 流 A | 接 触 抗 拒 $\times 10^3 \Omega$ | | | | | |
|--|------------------|--|-------------------|---------------------|--------------------|-----|--|
| | | 電極束ね コアグリ 未打設 | 水中養生 1週間後 | 大気暴露 2週間後 | 大気暴露3週間後 測定値 | 平均値 | |
| S D 3 5 6 | 50 100 150 | — 3.4 3.4 | 8.7 4.4 3.3 | 11.3 4.3 3.2 | 10.3 4.5 3.6 | 6.1 | |
| | 50 100 150 | 1.9 2.2 1.6 | 3.1 2.8 1.7 | 4.4 2.9 1.9 | 6.3 3.2 1.9 | | |
| | 50 100 150 | 1.9 1.7 1.2 | 19.3 13.3 — | 16.3 17.3 7.3 | 19.3 9.3 8.3 | | |
| 比電気抵抗測定値(35°C) | | | | | | | |
| SD35鉄筋 $\phi 16\text{mm}$ (異形) $2.93 \times 10^{-2} \Omega \cdot \text{m}$ | | | | | | | |
| 高マンガン鋼 $\phi 20\text{mm}$ (丸棒) $2.64 \times 10^{-2} \Omega \cdot \text{m}$ | | | | | | | |

基準抵抗測定供試体

SD35鉄筋 $\phi 16\text{mm}$ (異形) $2.93 \times 10^{-2} \Omega \cdot \text{m}$

高マンガン鋼 $\phi 20\text{mm}$ (丸棒) $2.64 \times 10^{-2} \Omega \cdot \text{m}$

コンクリート 平均ボルトランド

セメント使用 水・セメント比5%